

## 基础研究

# 丙泊酚下调水通道蛋白3和基质金属蛋白酶-9表达抑制人肺癌A549细胞的侵袭力

叶慧瑾, 白建杰, 郭培培, 汪 威, 林春水  
南方医科大学南方医院麻醉科, 广东 广州 510515

**摘要:**目的 探讨丙泊酚对人肺癌A549细胞水通道蛋白3(AQP-3)、基质金属蛋白酶-9(MMP-9)表达及其侵袭力的影响。方法 A549细胞经丙泊酚不同剂量(25、50、100  $\mu\text{mol/L}$ )和不同时间(12、24 h)处理。用RT-PCR方法观察丙泊酚对A549细胞AQP-3 mRNA的作用,用Western Blot方法和Transwell侵袭实验分别检测不同浓度丙泊酚作用24 h对A549细胞AQP-3、MMP-9蛋白表达和细胞侵袭力的影响。结果 与空白组比较,25、50、100  $\mu\text{mol/L}$ 丙泊酚24 h处理组对AQP-3 mRNA表达的最大抑制比值为0.13,最小0.41;12 h处理组最大抑制比值0.19,最小0.65,差异有统计学意义( $P<0.05$ );丙泊酚100  $\mu\text{mol/L}$ 组24 h达到最大抑制效果(0.13 $\pm$ 0.035)。25、50、100  $\mu\text{mol/L}$ 丙泊酚24 h处理组AQP-3蛋白表达(0.91 $\pm$ 0.009,0.60 $\pm$ 0.020,0.57 $\pm$ 0.006)和50、100  $\mu\text{mol/L}$ 丙泊酚24 h处理组MMP-9蛋白表达(0.65 $\pm$ 0.006,0.46 $\pm$ 0.021),较空白组明显降低( $P<0.05$ )。25、50、100  $\mu\text{mol/L}$ 丙泊酚24 h处理组的穿膜细胞数(122.55 $\pm$ 17.20,96.33 $\pm$ 5.82,74.33 $\pm$ 2.85),较空白组(199.33 $\pm$ 23.88)明显减少( $P<0.05$ )。结论 丙泊酚50、100  $\mu\text{mol/L}$ 处理24 h,可下调人肺癌A549细胞AQP-3 mRNA、AQP-3蛋白和MMP-9蛋白的表达,抑制A549细胞的侵袭力。**关键词:**丙泊酚;水通道蛋白3;基质金属蛋白酶9;A549;侵袭力

## Propofol suppresses invasion of human lung cancer A549 cells by down-regulating aquaporin-3 and matrix metalloproteinase-9

YE Huijin, BAI Jianjie, GUO Peipei, WANG Wei, LIN Chunshui  
Department of Anesthesiology, Nanfang Hospital, Southern Medical University, Guangzhou 510515, China

**Abstract: Objective** To investigate the effect of propofol on cell invasion and expressions of aquaporin-3 (AQP-3) and matrix metalloproteinase-9 (MMP-9) in human lung adenocarcinoma cancer A549 cells. **Method** A549 cells were treated with propofol at the concentrations of 25, 50, and 100  $\mu\text{mol/L}$  for 12 or 24 h. RT-PCR was used to detect the effect of propofol on AQP-3 mRNA level in A549 cells, and the effects of propofol treatments for 24 h on AQP-3 and MMP-9 protein expression and the invasive ability of A549 cells were assessed with Western blotting and Transwell assay, respectively. **Results** Compared with the control cells, the cells treated with 25, 50, and 100  $\mu\text{mol/L}$  propofol showed a obvious inhibition of AQP-3 mRNA expression, with inhibition rates ranging from 0.19 to 0.65 in cells with a 12-h treatment and from 0.13 to 0.41 in cells treated for 24 h; 100  $\mu\text{mol/L}$  propofol treatment for 24 h produced the strongest inhibitory effect (0.13 $\pm$ 0.035,  $P<0.05$ ). AQP-3 protein expression in cells treated with 25, 50, and 100  $\mu\text{mol/L}$  propofol for 24 h (0.91 $\pm$ 0.009, 0.60 $\pm$ 0.020, and 0.57 $\pm$ 0.006, respectively) and MMP-9 protein expression in cells treated with 50 and 100  $\mu\text{mol/L}$  propofol for 24 h (0.65 $\pm$ 0.006 and 0.46 $\pm$ 0.021, respectively) were significantly lower than those in the control cells ( $P<0.05$ ). Treatment with 25, 50, and 100  $\mu\text{mol/L}$  propofol for 24 significantly lowered the number of invading cells (122.55 $\pm$ 17.20, 96.33 $\pm$ 5.82, and 74.33 $\pm$ 2.85, respectively) compared with the control group (199.33 $\pm$ 23.88,  $P<0.05$ ). **Conclusion** Treatment with 50 and 100  $\mu\text{mol/L}$  propofol inhibits cell invasion by down-regulating the expression of AQP-3 and MMP-9 in A549 cells.

**Key words:** propofol; aquaporin-3; matrix metalloproteinase-9; A549; invasion

常用的静脉麻醉药丙泊酚对宫颈癌、纤维肉瘤、骨肉瘤、黑色素瘤、结肠癌、乳腺癌等多种肿瘤细胞的侵袭力有抑制作用<sup>[1-3]</sup>。水通道蛋白家族(AQPs)是一类介导

跨膜水运输的内在蛋白<sup>[4]</sup>,其中AQP-3在非小细胞肺癌(NSCLC)和肺腺癌细胞中高表达<sup>[5-6]</sup>。基质金属蛋白酶(MMPs)是一类以无活性酶原形式分泌的Zn<sup>2+</sup>依赖的肽链内切酶,其中MMP-9即明胶酶B被认为是肺癌细胞侵袭和转移的重要分子,在NSCLC患者的血清、肺组织中MMP-9高表达<sup>[7-9]</sup>。研究表明,丙泊酚能抑制肺癌A549细胞AQP-1的表达,抑制其生长和迁移<sup>[10]</sup>;AQP-3可参与早期肺腺癌发展过程、调节肺癌细胞生物学功能<sup>[11]</sup>。丙泊酚对A549细胞AQP-3和MMP-9表达的

收稿日期:2016-05-07

基金项目:广东省科技计划项目(2012A030400014);广州市科技计划项目(12C22121552)

作者简介:叶慧瑾,硕士研究生,E-mail: yehj126@126.com

通信作者:林春水,主任医师,医学博士,博士生导师,E-mail: lcsnfyy@126.com

影响尚不清楚。本研究通过观察丙泊酚对人肺癌A549细胞侵袭力及AQP-3、MMP-9的影响,探讨丙泊酚对A549细胞的作用及机制。

## 1 材料和方法

### 1.1 材料

1.1.1 实验细胞 人肺腺癌A549细胞来源于南方医科大学珠江医院肿瘤科实验室,A549细胞用10%胎牛血清DMEM/F12培养基,在37℃、5% CO<sub>2</sub>恒温培养箱培养,每2~3 d换液。选择对数生长期的A549细胞用于实验。

1.1.2 主要试剂 DEME/F12培养基购于HyClone,胎牛血清购于Gibco,PCR引物由上海英潍捷基公司合成,β-actin、AQP-3抗体购自Abcam;MMP-9抗体购自CST,山羊抗兔IgG二抗购于Jackson,丙泊酚纯品、二甲基亚砜(DMSO)、CuSO<sub>4</sub>分析纯级购于Sigma,Transwell小室和Matrix基质胶购于Corning。

### 1.2 实验方法

1.2.1 实验分组 实验分6组:空白对照组(C组),加入等体积的PBS;DMSO溶剂组(D组),加入同体积的DMSO溶剂,总浓度不超过0.1%;丙泊酚分为25 μmol/L(P<sub>25</sub>组)、50 μmol/L(P<sub>50</sub>组)、100 μmol/L(P<sub>100</sub>组);AQP-3抑制剂CuSO<sub>4</sub>组(Cu组)500 μmol/L。

1.2.2 荧光定量PCR检测AQP-3 mRNA 按丙泊酚作用时间和剂量分为10组:时间分组为12 h组和24 h组,剂量分组为C组、D组、P<sub>25</sub>组、P<sub>50</sub>组、P<sub>100</sub>组。细胞株传代培养3 d,加药物刺激作用后收集细胞。用RNA提取试剂盒提取细胞总RNA,取1 μg RNA进行逆转录42℃,2 min。取适量cDNA产物进行荧光定量PCR,扩增条件95℃持续5 s,60℃持续60 s,共40个循环。PCR引物序列从GeneBank数据库中查找:AQP-3上游引物5'-TCAATGGCTTCTTTGACCAGTTCA-3',下游引物5'-CTTCACATGGGCCAGCTTCACATT-3';β-actin上游引物5'-CATGTACGTTGCTATCCAGGC-3',下游引物5'-CTCCTTAATGTCACGCACGAT-3'。以β-actin作为内参基因,计算AQP-3 mRNA的相对表达量(β-actin/AQP-3),用2<sup>-ΔΔCT</sup>来评价目标mRNA的表达水平。β-actin用来校加样误差。

1.2.3 Western Blot检测AQP-3和MMP-9蛋白 按上述丙泊酚作用时间和剂量分为10组,加500 μmol/L CuSO<sub>4</sub> 2 h处理组(Cu组)。收集处理过的细胞,提取总蛋白,BCA法测蛋白浓度,计算上样量。制备12% SDS-PAGE凝胶,每孔加50 μg蛋白样品,进行电泳。转膜后,5%脱脂奶粉封闭1 h,1%TBST洗膜3次,加入一抗AQP-3(1:200)、MMP-9(1:500)、β-actin(1:1000),共同孵育4℃恒温过夜。洗膜后于左右摇床上室温孵

育二抗(山羊抗兔抗体:1:3000),2 h。采用ECL发光试剂盒发光、显影,使用凝胶图像分析系统采集图像,图像采集后使用Image J软件处理系统分析目标条带的光密度值。

1.2.4 Transwell小室检测细胞侵袭力 饥饿A549细胞24 h后,按上述实验分组处理细胞,消化收集,调整细胞悬液浓度为5×10<sup>5</sup>/mL。每个上室加入200 μL细胞悬液,下室加入含10%胎牛血清的培养基,放入37℃、5% CO<sub>2</sub>的细胞培养箱中孵育24 h。用棉签擦去上室内面的细胞和基质胶,无水甲醇固定20 min,PBS洗涤,风干后0.1%结晶紫染色细胞20 min,PBS洗涤3~4次。棉签擦净残留在小室内壁的细胞和液体,静置待小室风干。将Transwell小室膜朝上,在200倍镜的正置显微镜下观察,随机选5个视野,计数细胞数。

1.2.5 统计学方法 用SPSS 20.0统计软件分析,计量资料以均数±标准差表示。实验结果数据采用单因素方差分析。组间两两比较:方差齐采用LSD分析,方差不齐用Dunnett's T<sub>3</sub>分析。 $P<0.05$ 认为差异有统计学意义。

## 2 结果

### 2.1 丙泊酚对A549细胞AQP-3 mRNA和蛋白表达的影响

AQP-3 mRNA变化与C组的比值分别为:D<sub>12 h</sub>组0.91±0.015,D<sub>24 h</sub>组0.78±0.020,P<sub>25-12 h</sub>组0.65±0.027,P<sub>25-24 h</sub>组0.41±0.031,P<sub>50-12 h</sub>组0.52±0.047,P<sub>50-24 h</sub>组0.25±0.071,P<sub>100-12 h</sub>组0.19±0.027,P<sub>100-24 h</sub>组0.13±0.035。除D<sub>12 h</sub>组,其余组与空白组比较,差异均有统计学意义( $P<0.05$ ,图1A)。AQP-3蛋白表达变化与空白组的比值分别为:D<sub>24 h</sub>组0.78±0.025,P<sub>25-24 h</sub>组0.91±0.009,P<sub>50-24 h</sub>组0.60±0.020,P<sub>100-24 h</sub>组0.57±0.006,Cu组0.51±0.074。与空白组比较各组差异均有统计学意义( $P<0.05$ ,图1B,C)。P<sub>50-24 h</sub>组、P<sub>100-24 h</sub>组和Cu组AQP-3蛋白表达明显下降,3者间无显著性差异。

### 2.2 丙泊酚对A549细胞MMP-9蛋白表达的影响

与空白组比较,D组(1.28±0.011)和P<sub>25-24 h</sub>组(1.12±0.014)MMP-9蛋白表达有所增加。P<sub>50-24 h</sub>组(0.65±0.006)、P<sub>100-24 h</sub>组(0.46±0.021)MMP-9蛋白水平较对照组相比表达量有显著下降( $P<0.05$ ),两处理组间差异有统计学意义。并且与Cu组(0.94±0.023)比较,P<sub>50-24 h</sub>组、P<sub>100-24 h</sub>组对A549细胞MMP-9蛋白表达抑制作用明显增加,且差异有统计学意义( $P<0.05$ ,图2)。

### 2.3 丙泊酚对A549细胞侵袭力的影响

不同浓度丙泊酚处理24 h对A549细胞的侵袭力均有抑制作用。随丙泊酚作用浓度增加,其对侵袭力的抑制增强。A549细胞各实验组穿膜数分别为C组199.33±23.88,D组146.22±14.82,P<sub>25</sub>组122.55±17.20,

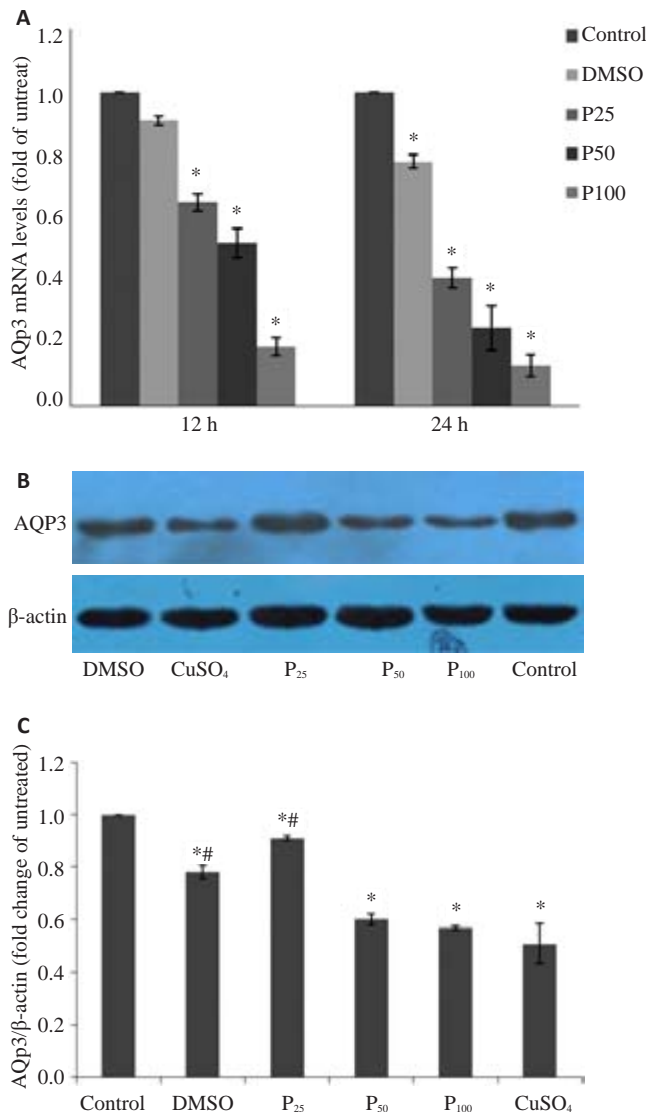


图1 丙泊酚对A549细胞AQP-3 mRNA和蛋白表达的影响  
Fig.1 Effect of propofol on AQP-3 expression in A549 cells. A: AQP-3 mRNA expression in A549 cells; B, C: AQP-3 protein expression in A549 cells treated with propofol for 24 h. \* $P < 0.05$  vs control cells; # $P < 0.05$  vs CuSO<sub>4</sub> group.

P<sub>50</sub>组  $96.33 \pm 5.82$ , P<sub>100</sub>组  $74.33 \pm 2.85$ 。细胞侵袭抑制比值分别为: D组 73.36%、P<sub>25</sub>组 61.48%、P<sub>50</sub>组 48.33%、P<sub>100</sub>组 37.29%。各处理组和对照组比较差异均有统计学意义( $P < 0.05$ , 图3)。

#### 2.4 CuSO<sub>4</sub>对A549细胞侵袭力的影响

Cu组使用 500 μmol/L CuSO<sub>4</sub>, 处理 2 h, Transwell 实验 C 组和 Cu 组穿膜细胞数分别为  $199.33 \pm 19.75$  和  $103.11 \pm 13.68$ , 差异有统计学意义( $P < 0.05$ , 图3)。

#### 2.5 CuSO<sub>4</sub>对A549细胞AQP-3和MMP-9蛋白表达的影响

Cu组 AQP-3 和 MMP-9 蛋白表达与空白组比较, 分别为  $0.51 \pm 0.074$  和  $0.94 \pm 0.023$ , 差异有统计学意义( $P < 0.05$ , 图4)。

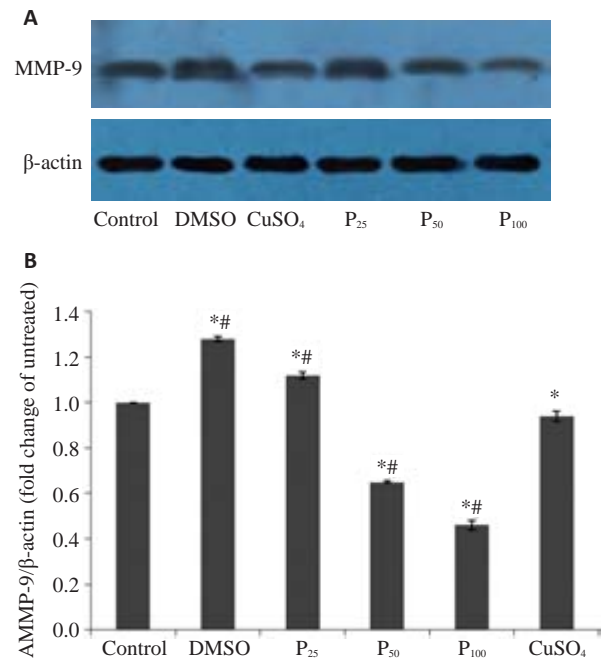


图2 丙泊酚对A549细胞MMP-9蛋白表达的影响

Fig.2 Effect of propofol on MMP-9 protein expression in A549 cells. A: Protein expression of MMP-9 in A549 cells treated with propofol for 24 h measured by Western blotting; B: Quantitative analysis of MMP-9 protein level in A549 cells treated with propofol for 24 h. \* $P < 0.05$  vs control group; # $P < 0.05$  vs CuSO<sub>4</sub> group.

### 3 讨论

AQPs是一类跨膜转运通道蛋白,根据其通透性不同分为水通道和水-甘油通道两类,AQP-3属于后者。AQPs与肿瘤细胞的增殖、侵袭迁移力和血管生成有密切关系<sup>[12]</sup>。在NSCLC中尤其是肺腺癌和高分化乳头状支气管肺癌中,AQP-3高表达<sup>[5, 11-12]</sup>。研究表明,丙泊酚通过降低AQPs的表达,发挥其器官保护作用;丙泊酚可减少AQP-4、MMP-9及pJNK的表达,减缓脑缺血再灌注损伤<sup>[13]</sup>;可以减少神经胶质瘤术后脑水肿患者AQP-4的表达<sup>[14]</sup>;还可下调LPS引起的AQP-2、TNF-α和ICAM-1的表达,对内毒素引起的肺损伤和肾损伤有保护作用<sup>[15]</sup>。另有研究发现,丙泊酚能抑制A549肿瘤细胞AQP-1的表达,对A549细胞的生长、迁移有明显抑制作用,并诱导肿瘤细胞的凋亡<sup>[10]</sup>;AQP-3可能参与早期肺腺癌发展过程、调节肺癌细胞生物学功能<sup>[11]</sup>。迄今,丙泊酚对A549肿瘤细胞(非小细胞肺癌)AQP-3作用的影响,尚未明确。本研究,采用体外培养人肺腺癌A549细胞株,测定不同浓度和作用时间的丙泊酚对A549细胞AQP-3 mRNA和蛋白表达的影响。结果发现,12 h和24 h丙泊酚低、中、高剂量组AQP-3 mRNA表达均明显减少,24 h丙泊酚低、中、高剂量组AQP-3蛋白表达均明显减少,表明丙泊酚对人肺癌A549细胞



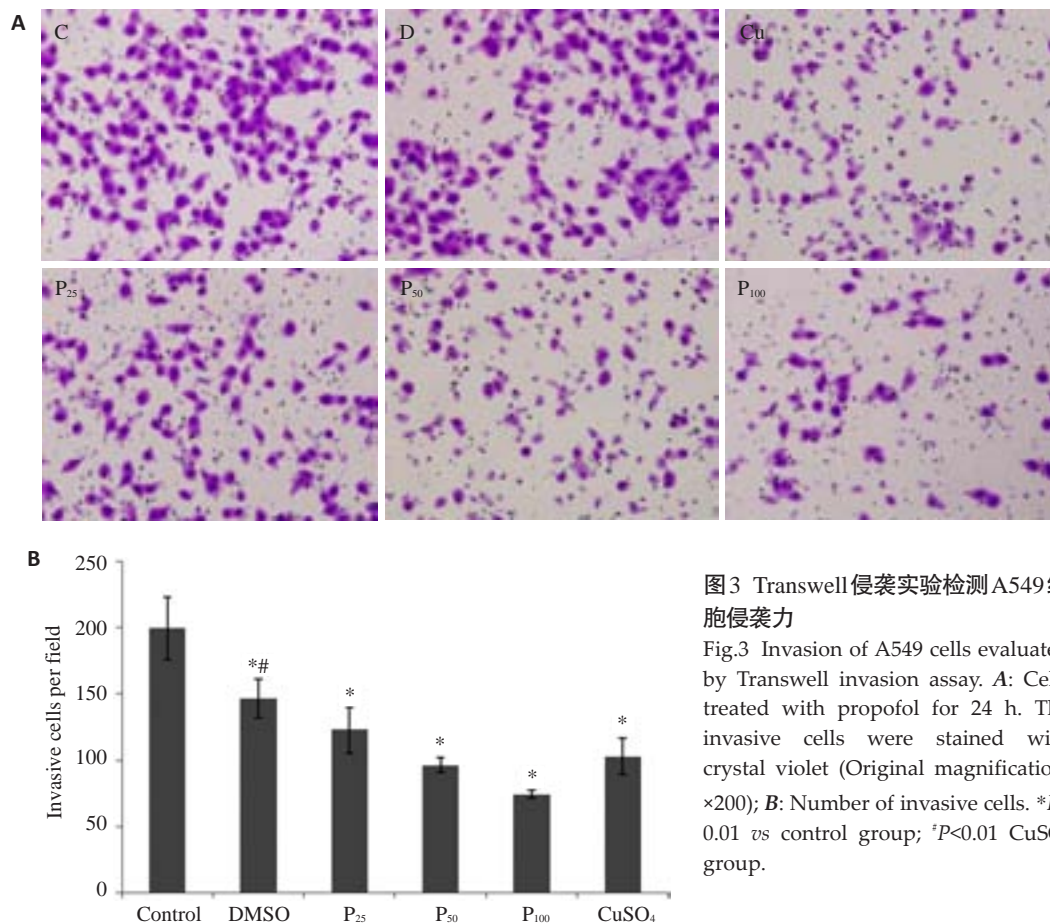


图3 Transwell侵袭实验检测A549细胞侵袭力

Fig.3 Invasion of A549 cells evaluated by Transwell invasion assay. A: Cells treated with propofol for 24 h. The invasive cells were stained with crystal violet (Original magnification:  $\times 200$ ); B: Number of invasive cells.  $^*P < 0.01$  vs control group;  $^{\#}P < 0.01$  CuSO<sub>4</sub> group.

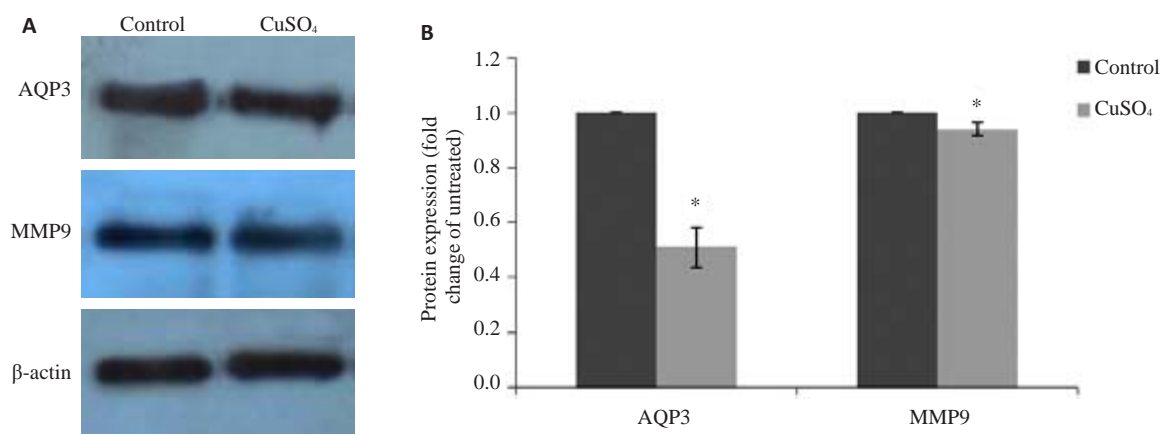


图4 CuSO<sub>4</sub>对A549细胞AQP-3、MMP-9蛋白表达的影响

Fig.4 Effect of CuSO<sub>4</sub> on protein expression of AQP-3 and MMP-9 in A549 cells. A: Results of Western blotting; B: Quantitative analysis of AQP-3 and MMP-9 protein level in A549 cells.  $^*P < 0.05$  vs control group.

AQP-3的表达有抑制作用,且呈时间-剂量依赖性。

MMPs可以降解、破坏基底膜和细胞外基质(ECM),促进血管表面生长因子的释放参与肿瘤血管形成和肿瘤生长<sup>[16]</sup>,其中MMP-2和MMP-9与多种肿瘤的侵袭转移关系最为密切<sup>[17]</sup>。MMP-9以酶原形式分泌至胞外,主要存在于单核-巨噬细胞内,在恶性细胞株中的表达增加与肿瘤细胞的转移能力相关<sup>[18]</sup>。MMP-9被

认为是肺癌细胞侵袭和转移的重要分子,NSCLC患者的血清、肺组织中MMP-9水平显著增高<sup>[7-8]</sup>。抑制肺癌细胞MMP-9的表达,能够减少肺癌早期转移并且可破坏肿瘤的脉管系统,达到抗肿瘤的作用<sup>[19]</sup>。Meta分析表明,非小细胞肺癌MMP-9免疫组化染色结果阳性的患者5年生存率低于结果阴性者<sup>[9]</sup>,提示MMP-9在NSCLC患者预后中的重要作用。本研究,中、高剂量丙泊酚组

(50、100  $\mu\text{mol/L}$ ) MMP-9蛋白表达明显减少,表明丙泊酚可以抑制人肺癌A549细胞MMP-9蛋白表达,然低剂量丙泊酚组(25  $\mu\text{mol/L}$ )的MMP-9蛋白表达较C组增加。有研究报道,丙泊酚34  $\mu\text{mol/L}$ 可以促进人乳腺癌MDA-MB-468细胞迁移<sup>[20]</sup>;丙泊酚0~40  $\mu\text{mol/L}$ 呈剂量-时间依赖性促进胆囊癌GBC-SD细胞增殖、侵袭,并抑制细胞凋亡<sup>[21]</sup>;低剂量(15、20、25  $\mu\text{g/mL}$ )丙泊酚处理24 h对A549细胞MMP-9蛋白表达为促进作用,而处理48 h为抑制作用<sup>[22]</sup>。可见,中、高剂量的丙泊酚对肿瘤细胞侵袭力的抑制作用更确切,低剂量的丙泊酚对肿瘤细胞侵袭转移能力的影响有待进一步验证。除剂量因素外,丙泊酚对不同肿瘤细胞侵袭转移能力的影响是否不同,值得探讨。

对其作用机制的研究发现,敲除人非小细胞肺癌A549细胞的AQP-3基因,可以通过AKT/MMPs途径降低肺癌细胞的侵袭力,并且AQP-3表达下调能抑制肿瘤细胞甘油摄取和线粒体ATP生成<sup>[23]</sup>;可以延迟肿瘤细胞的生长,可能与阻止HIF-1 $\alpha$ /VEGF和Raf/MEK/ERK信号通路有关<sup>[24]</sup>。本研究表明,丙泊酚50、100  $\mu\text{mol/L}$ 处理24 h,可下调人肺癌A549细胞AQP-3 mRNA、AQP-3蛋白和MMP-9蛋白的表达,抑制A549细胞的侵袭力。但是,丙泊酚是否通过下调AQP-3表达影响AKT和ERK信号通路,从而抑制人肺癌A549细胞的MMPs表达和细胞侵袭力,其作用机制还有待深入研究。CuSO<sub>4</sub>是AQP-3特异性抑制剂<sup>[25]</sup>,500  $\mu\text{mol/L}$  CuSO<sub>4</sub>作用2 h可明显抑制肿瘤细胞的侵袭力和AQP-3的蛋白表达<sup>[26-30]</sup>。本实验CuSO<sub>4</sub>组明显减少肺腺癌A549细胞AQP-3和MMP-9蛋白的表达,对A549细胞的侵袭力有明显的抑制作用,进一步说明通过减少肺癌A549细胞的AQP-3表达可以抑制MMP-9表达和肿瘤细胞的侵袭力。

本研究表明,50、100  $\mu\text{mol/L}$ 丙泊酚可下调人肺腺癌A549细胞AQP-3和MMP-9的表达,抑制A549细胞的侵袭,为肿瘤手术患者麻醉方式和药物的选择提供实验依据。关于丙泊酚下调A549细胞AQP-3和MMP-9表达的具体机制、通路,以及丙泊酚对肿瘤转移机制的动物实验、临床观察,均值得进一步探讨。

## 参考文献:

- [1] Song J, Shen Y, Zhang J, et al. Mini profile of potential anticancer properties of propofol[J]. PLoS One, 2014, 9(12): e114440.
- [2] Mammoto T, Mukai M, Mammoto A, et al. Intravenous anesthetic, propofol inhibits invasion of cancer cells[J]. Cancer Lett, 2002, 184(2): 165-70.
- [3] Garib V, Niggemann B, Zänker KS, et al. Influence of non-volatile anesthetics on the migration behavior of the human breast cancer cell line MDA-MB-468[J]. Acta Anaesthesiol Scand, 2002, 46(7): 836-44.

- [4] Denker BM, Smith BL, Kuhajda FP, et al. Identification, purification, and partial characterization of a novel Mr 28 000 integral membrane protein from erythrocytes and renal tubules[J]. J Biol Chem, 1988, 263(30): 15634-42.
- [5] Warth A, Muley T, Meister M, et al. Loss of aquaporin-4 expression and putative function in non-small cell lung cancer [J]. BMC Cancer, 2011, 11(3): 161.
- [6] Machida Y, Ueda Y, Shimasaki M, et al. Relationship of aquaporin 1, 3, and 5 expression in lung cancer cells to cellular differentiation, invasive growth, and metastasis potential[J]. Hum Pathol, 2011, 42(5): 669-78.
- [7] Iniesta P, Morán A, De Juan C, et al. Biological and clinical significance of MMP-2, MMP-9, TIMP-1 and TIMP-2 in non-small cell lung cancer[J]. Oncol Rep, 2007, 17(1): 217-23.
- [8] Leinonen T, Pirinen R, Böhm J, et al. Expression of matrix metalloproteinases 7 and 9 in non-small cell lung cancer. Relation to clinicopathological factors, beta-catenin and prognosis[J]. Lung Cancer, 2006, 51(3): 313-21.
- [9] Peng WJ, Zhang JQ, Wang BX, et al. Prognostic value of matrix metalloproteinase 9 expression in patients with non-small cell lung cancer[J]. Clin Chim Acta, 2012, 413(13/14): 1121-6.
- [10] 赵 佳, 刘东雷, 杨 洋, 等. 丙泊酚对肺癌A549细胞凋亡的影响及其机制[J]. 中华实验外科杂志, 2015, 32(4): 792-4.
- [11] Liu YL, Matsuzaki T, Nakazawa T, et al. Expression of aquaporin 3 (AQP3) in normal and neoplastic lung tissues [J]. Hum Pathol, 2007, 38(1): 171-8.
- [12] Wang J, Feng L, Zhu Z, et al. Aquaporins as diagnostic and therapeutic targets in cancer: how far we are [J]? J Transl Med, 2015, 13(4): 96.
- [13] Ji FT, Liang JJ, Miao LP, et al. Propofol postconditioning protects the blood brain barrier by decreasing matrix metalloproteinase9 and aquaporin4 expression and improves the neurobehavioral outcome in a rat model of focal cerebral ischemiareperfusion injury[J]. Mol Med Rep, 2015, 12(2): 2049-55.
- [14] Yang WC, Zhou LJ, Zhang R, et al. Effects of propofol and sevoflurane on aquaporin-4 and aquaporin-9 expression in patients performed gliomas resection[J]. Brain Res, 2015, 1622(8): 1-6.
- [15] Cui WY, Tian AY, Bai T. Protective effects of propofol on endotoxemia-induced acute kidney injury in rats [J]. Clin Exp Pharmacol Physiol, 2011, 38(11): 747-54.
- [16] Jodele S, Chantrain CF, Blavier L, et al. The contribution of bone marrow-derived cells to the tumor vasculature in neuroblastoma is matrix metalloproteinase-9 dependent[J]. Cancer Res, 2005, 65(8): 3200-8.
- [17] 方伟岗, 李红梅, 孔灵玲, 等. 肿瘤侵袭转移过程中基质金属蛋白酶作用机制系列研究[J]. 北京大学学报: 医学版, 2003, 35(4): 441-3.
- [18] Baruch RR, Melinscak H, Lo J, et al. Altered matrix metalloproteinase expression associated with oncogene-mediated cellular transformation and metastasis formation[J]. Cell Biol Int, 2001, 25(5): 411-20.
- [19] Rao JS, Gondi C, Chetty C, et al. Inhibition of invasion, angiogenesis, tumor growth, and metastasis by adenovirus-mediated transfer of antisense uPAR and MMP-9 in non-small cell lung cancer cells[J]. Mol Cancer Ther, 2005, 4(9): 1399-408.

(下转 1294 页)

(上接 1290 页)

- [20] Garib V, Lang K, Niggemann B, et al. Propofol-induced Calcium signalling and actin reorganization within breast carcinoma cells[J]. Eur J Anaesthesiol, 2005, 22(8): 609-15.
- [21] Zhang L, Wang N, Zhou S, et al. Propofol induces proliferation and invasion of gallbladder cancer cells through activation of Nrf2[J]. J Exp Clin Cancer Res, 2012, 31(8): 66.
- [22] Wu KC, Yang ST, Hsia TC, et al. Suppression of cell invasion and migration by propofol are involved in down-regulating matrix metalloproteinase-2 and p38 MAPK signaling in A549 human lung adenocarcinoma epithelial cells[J]. Anticancer Res, 2012, 32(11): 4833-42.
- [23] Xia H, Ma YF, Yu CH, et al. Aquaporin 3 knockdown suppresses tumour growth and angiogenesis in experimental non-small cell lung cancer[J]. Exp Physiol, 2014, 99(7): 974-84.
- [24] Hou SY, Li YP, Wang JH, et al. Aquaporin-3 inhibition reduces the growth of NSCLC cells induced by hypoxia [J]. Cell Physiol Biochem, 2016, 38(1): 129-40.
- [25] Zelenina M, Tritto S, Bondar AA, et al. Copper inhibits the water and glycerol permeability of aquaporin-3[J]. J Biol Chem, 2004, 279(50): 51939-43.
- [26] Li A, Lu D, Zhang Y, et al. Critical role of aquaporin-3 in epidermal growth factor-induced migration of colorectal carcinoma cells and its clinical significance[J]. Oncol Rep, 2013, 29(2): 535-40.
- [27] Ji C, Cao C, Lu S, et al. Curcumin attenuates EGF-induced AQP3 up-regulation and cell migration in human ovarian cancer cells[J]. Cancer Chemother Pharmacol, 2008, 62(5): 857-65.
- [28] Cao XC, Zhang WR, Cao WF, et al. Aquaporin3 is required for FGF-2-induced migration of human breast cancers[J]. PLoS One, 2013, 8(2): e56735.
- [29] 李 昂, 方 育, 李 嘉, 等. 表皮生长因子调节水通道蛋白3表达对结肠癌细胞迁移能力的影响[J]. 现代肿瘤医学, 2012, 20(8): 1557-60.
- [30] 杨泉涌, 张 颖, 张伟然, 等. 水通道蛋白3在表皮生长因子诱导的乳腺癌细胞迁移中的作用机制研究[J]. 中华乳腺病杂志: 电子版, 2012, 6(6): 640-8.

(编辑:孙昌朋)